

闪锌矿晶体的讨论

王启骅 PB20020580

2023 年 3 月 20 日

1 结构

闪锌矿 ZnS 结构如图 1 所示, S 原子 (绿色) 位于 $000, 0\frac{1}{2}\frac{1}{2}, \frac{1}{2}0\frac{1}{2}, \frac{1}{2}\frac{1}{2}0$, Zn 原子 (紫色) 坐标 $\frac{1}{4}\frac{1}{4}\frac{1}{4}, \frac{1}{4}\frac{3}{4}\frac{3}{4}, \frac{3}{4}\frac{1}{4}\frac{3}{4}, \frac{3}{4}\frac{3}{4}\frac{1}{4}$

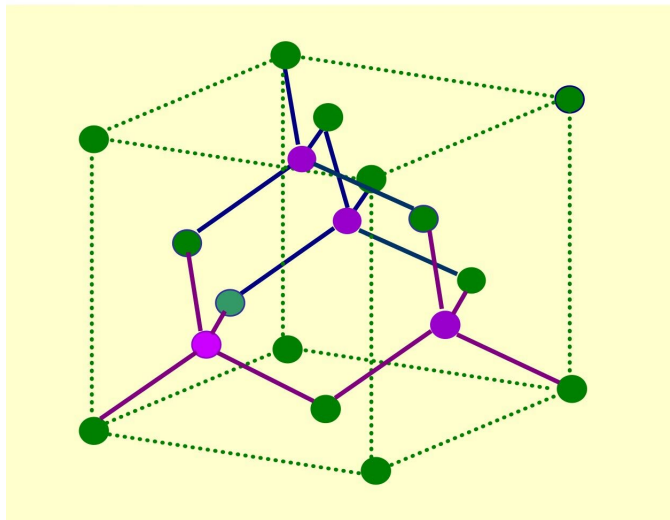


图 1: 闪锌矿结构

可以取如图 2 一个 S 原子连接四个 Zn 原子 (由每个 Zn 与 4 个 S 相连, 各占有 $\frac{1}{4}$) 为一个基元, 则可以等效于面心立方点阵。

闪锌矿的原胞如图 3, 连接顶点 S 原子到两个邻近的面心得到原胞基矢。

$$\begin{cases} \vec{\alpha}_1 = \frac{a}{2}\hat{x} + \frac{a}{2}\hat{y} \\ \vec{\alpha}_2 = \frac{a}{2}\hat{x} + \frac{a}{2}\hat{z} \\ \vec{\alpha}_3 = \frac{a}{2}\hat{y} + \frac{a}{2}\hat{z} \end{cases} \quad (1)$$

可见在一个原胞中, 内部包含了一个 Zn 原子, 其余的三个 Zn 原子在原胞外, 且原胞八个顶点的 S 原子各占有 $\frac{1}{8}$, 共有一个 Zn, 一个 S。对应闪锌矿的化学组成 ZnS 。其 Wigner-Seitz 原胞对应于体心立方的布里渊区, 即为正菱形十二面体。

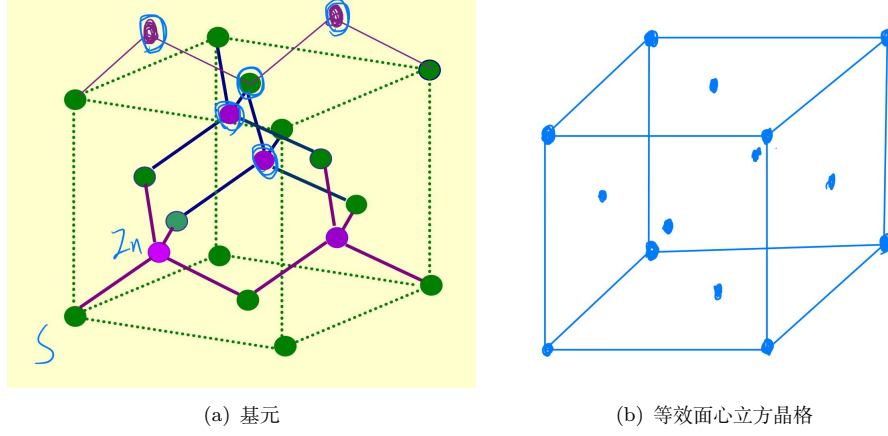


图 2: 基元选取

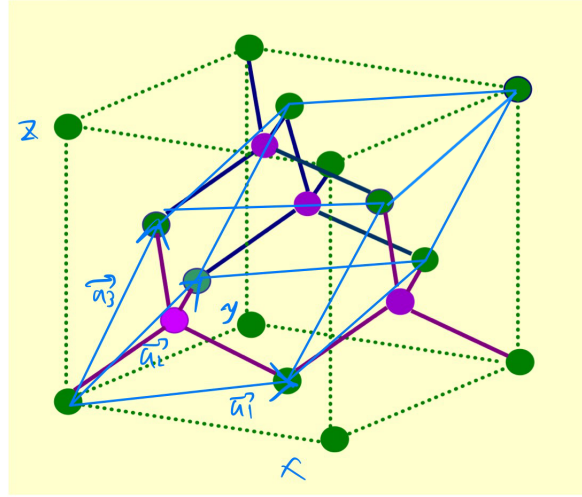


图 3: 原胞

1.1 对称性

首先对面面心的连线为二重旋转轴，同时也为四重旋转反演轴，共 3 条；体对角线为三重旋转轴，共 4 条；同时晶格表面的面对角线，与该面面心与对面面心连线轴构成的平面均为反映面，共有 6 个反映面。由此得到闪锌矿的点群为 T_d 点群。

闪锌矿由不同原子构成，其失去了金刚石原有的四度螺旋轴。

1.2 倒易点阵与布里渊区

由于基元组成的晶格为面心立方，其倒易点阵为边长为 $\frac{4\pi}{a}$ 的体心立方。倒格子基矢

$$\begin{cases} \vec{b}_1 = \frac{2\pi}{a}(\hat{x} + \hat{y} - \hat{z}) \\ \vec{b}_2 = \frac{2\pi}{a}(\hat{x} - \hat{y} + \hat{z}) \\ \vec{b}_3 = \frac{2\pi}{a}(-\hat{x} + \hat{y} + \hat{z}) \end{cases} \quad (2)$$

对应的第一布里渊区为一个截角八面体如图4

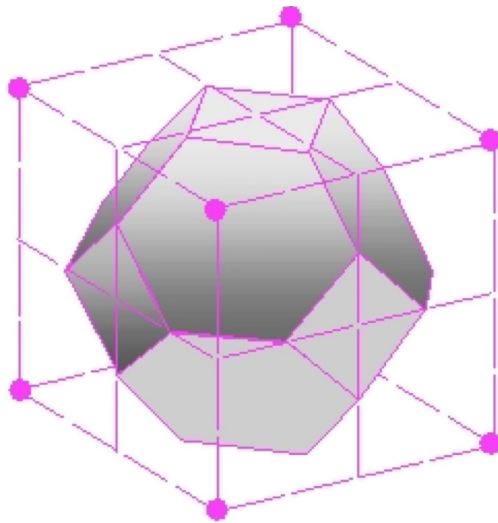


图 4: 第一布里渊区

如图 5 进一步可以推知第二布里渊区为该体心立方本身（次近邻点为紫色，为近邻晶格的体心），第三布里渊区仍为截角八面体（第三近邻点为绿色，为对角晶格的体心）。

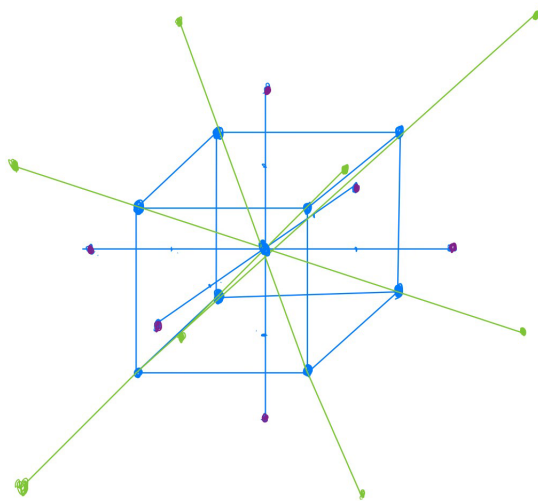


图 5: 第 2、3 布里渊区

1.3 晶体衍射

惯用晶胞中有 8 个原子，分别是 4 个 S 原子: $000, \frac{1}{2}\frac{1}{2}0, \frac{1}{2}0\frac{1}{2}, 0\frac{1}{2}\frac{1}{2}$ 和 4 个 Zn 原子: $\frac{1}{4}\frac{1}{4}\frac{1}{4}, \frac{3}{4}\frac{3}{4}\frac{1}{4}, \frac{1}{4}\frac{3}{4}\frac{3}{4}, \frac{3}{4}\frac{1}{4}\frac{3}{4}$ ，令 S 原子的原子散射因子为 f_a ，Zn 原子的原子散射因子 f_b ，对于波矢 $k = \frac{2\pi}{a}(H, K, L)$ ，则闪锌矿的几何结构因子

$$\begin{aligned}
 F_{HKL} &= f_a[1 + \exp(i\pi(H + K)) + \exp(i\pi(K + L)) + \exp(i\pi(L + H))] \\
 &\quad + f_b[\exp(i\frac{\pi}{2}(H + K + L)) + \exp(i\frac{\pi}{2}(3H + 3K + L)) + \exp(i\frac{\pi}{2}(H + 3K + 3L)) + \exp(i\frac{\pi}{2}(3H + K + 3L))] \quad (3) \\
 &= (f_a + f_b \exp(i\frac{\pi}{2}(H + K + L)))[1 + \exp(i\pi(H + K)) + \exp(i\pi(K + L)) + \exp(i\pi(L + H))]
 \end{aligned}$$

由此可见闪锌矿的几何结构因子类似于 2 个面心立方结构相差一定相位的线性组合。当 H,K,L 奇偶混杂时, $F_{HKL} = 0$, 衍射峰消失; 当 H, K, L 全为奇数时, $|F_{HKL}| = 4\sqrt{f_a^2 + f_b^2}$; 当 H,K,L 全部是偶数, 且 $H+K+L=4n$ (其中 n 为整数) 时, 达到极大值 $|F_{HKL}| = 4(f_a + f_b)$ 。

2 晶体结合

ZnS 通过共价键结合, 每个 Zn 原子和 S 原子的配位数都是 4, 与金刚石类似, 存在 sp^3 杂化。但是异类原子组成的晶体形成的共价键也包括离子键的成分。这里取 8 个惯用晶胞组成的大正方体, 以该 8 个惯用晶胞共同的顶点为原点, 在最接近的 Zn 与 S 原子的间距取为 1 的情况下, 可得惯用晶胞正方体边长为 $a = \frac{4}{\sqrt{3}}$, 可以计算 ZnS 的马德隆常数如下

$$\alpha = \frac{4}{1} + \frac{4}{3} + 12\sqrt{\frac{3}{11}} + 12\sqrt{\frac{3}{19}} - 12\frac{\sqrt{3}}{2\sqrt{2}} - \frac{6\sqrt{3}}{2 \cdot 4} - \frac{24}{2} \frac{1}{2\sqrt{2}} - \frac{12}{4} \frac{\sqrt{3}}{4\sqrt{2}} - \frac{8}{8} \frac{1}{4} = 2.3097 \quad (4)$$

该计算结果与标准结果 1.638 相比存在一定差距。如果进一步提高所取的晶格范围, 可以得到更加接近的结果。

3 晶格振荡

分别使用 l,m,n 编号原子的基矢 $\vec{a}_1 = \frac{a}{2}(\hat{x} + \hat{z})$, $\vec{a}_2 = \frac{a}{2}(\hat{x} + \hat{y})$, $\vec{a}_3 = \frac{a}{2}(\hat{y} + \hat{z})$ 方向序号。取 S 原子与临近沿对角线方向的一个 Zn 原子为原胞, S 原子位于 1 位置, Zn 原子位于 2 位置。偏移格点的位移用 u^x, u^y, u^z 表示。

假设 S 与 S 原子间相互作用力系数为 A, Zn 与 Zn 原子之间相互作用系数为 B, S 与 Zn 之间的力相互作用系数为 C。S 原子质量 m, Zn 原子质量为 M。现在对第 (l_1, m_1, n_1) 与 (l_2, m_2, n_2) 的 S 原子和 Zn 原子作为原胞进行受力分析。

首先是 S 原子:

$$\begin{aligned} m\ddot{u}_{l_1 m_1 n_1}^x = & -\frac{C}{3}(u_{l_1 m_1 n_1}^x + u_{l_1 m_1 n_1}^y + u_{l_1 m_1 n_1}^z - u_{l_2 m_2 n_2}^x - u_{l_2 m_2 n_2}^y - u_{l_2 m_2 n_2}^z) \\ & -\frac{C}{3}(u_{l_1 m_1 n_1}^x - u_{l_2(m_2-1)n_2}^x + u_{l_1 m_1 n_1}^y - u_{l_2(m_2-1)n_2}^y - u_{l_1 m_1 n_1}^z + u_{l_2(m_2-1)n_2}^z) \\ & -\frac{C}{3}(u_{l_1 m_1 n_1}^x - u_{l_2 m_2(n_2-1)}^x - u_{l_1 m_1 n_1}^y + u_{l_2 m_2(n_2-1)}^y - u_{l_1 m_1 n_1}^z + u_{l_2 m_2(n_2-1)}^z) \\ & -\frac{C}{3}(u_{l_1 m_1 n_1}^x - u_{(l_2-1)m_2 n_2}^x - u_{l_1 m_1 n_1}^y + u_{(l_2-1)m_2 n_2}^y + u_{l_1 m_1 n_1}^z - u_{(l_2-1)m_2 n_2}^z) \\ & + \frac{A}{2}[(u_{(l_1+1)m_1 n_1}^x - u_{l_1 m_1 n_1}^x) + (u_{(l_1-1)m_1 n_1}^x - u_{l_1 m_1 n_1}^x) + (u_{l_1(m_1+1)n_1}^x - u_{l_1 m_1 n_1}^x) + (u_{l_1(m_1-1)n_1}^x - u_{l_1 m_1 n_1}^x) \\ & + (u_{(l_1+1)m_1(n_1-1)}^x - u_{l_1 m_1 n_1}^x) + (u_{(l_1-1)m_1(n_1+1)}^x - u_{l_1 m_1 n_1}^x) + (u_{l_1(m_1+1)(n_1-1)}^x - u_{l_1 m_1 n_1}^x) + (u_{l_1(m_1-1)(n_1+1)}^x - u_{l_1 m_1 n_1}^x) \\ & + (u_{l_1(m_1+1)n_1}^y - u_{l_1 m_1 n_1}^y) + (u_{l_1(m_1-1)n_1}^y - u_{l_1 m_1 n_1}^y) - (u_{(l_1+1)m_1(n_1-1)}^y - u_{l_1 m_1 n_1}^y) - (u_{(l_1-1)m_1(n_1+1)}^y - u_{l_1 m_1 n_1}^y) \\ & + (u_{(l_1+1)m_1 n_1}^z - u_{l_1 m_1 n_1}^z) + (u_{(l_1-1)m_1 n_1}^z - u_{l_1 m_1 n_1}^z) - (u_{l_1(m_1+1)(n_1-1)}^z - u_{l_1 m_1 n_1}^z) - (u_{l_1(m_1-1)(n_1+1)}^z - u_{l_1 m_1 n_1}^z)] \end{aligned} \quad (5)$$

$$\begin{aligned}
m\ddot{u}_{l_1 m_1 n_1}^y = & -\frac{C}{3}(u_{l_1 m_1 n_1}^x + u_{l_1 m_1 n_1}^y + u_{l_1 m_1 n_1}^z - u_{l_2 m_2 n_2}^x - u_{l_2 m_2 n_2}^y - u_{l_2 m_2 n_2}^z) \\
& -\frac{C}{3}(u_{l_1 m_1 n_1}^x - u_{l_2(m_2-1)n_2}^x + u_{l_1 m_1 n_1}^y - u_{l_2(m_2-1)n_2}^y - u_{l_1 m_1 n_1}^z + u_{l_2(m_2-1)n_2}^z) \\
& +\frac{C}{3}(u_{l_1 m_1 n_1}^x - u_{l_2 m_2(n_2-1)}^x - u_{l_1 m_1 n_1}^y + u_{l_2 m_2(n_2-1)}^y - u_{l_1 m_1 n_1}^z + u_{l_2 m_2(n_2-1)}^z) \\
& +\frac{C}{3}(u_{l_1 m_1 n_1}^x - u_{(l_2-1)m_2 n_2}^x - u_{l_1 m_1 n_1}^y + u_{(l_2-1)m_2 n_2}^y + u_{l_1 m_1 n_1}^z - u_{(l_2-1)m_2 n_2}^z) \\
& +\frac{A}{2}[(u_{l_1 m_1(n_1+1)}^y - u_{l_1 m_1 n_1}^y) + (u_{l_1 m_1(n_1-1)}^y - u_{l_1 m_1 n_1}^y) + (u_{l_1(m_1+1)n_1}^y - u_{l_1 m_1 n_1}^y) + (u_{l_1(m_1-1)n_1}^y - u_{l_1 m_1 n_1}^y) \\
& + (u_{(l_1+1)m_1(n_1-1)}^y - u_{l_1 m_1 n_1}^y) + (u_{(l_1-1)m_1(n_1+1)}^y - u_{l_1 m_1 n_1}^y) + (u_{(l_1-1)(m_1+1)n_1}^y - u_{l_1 m_1 n_1}^y) + (u_{(l_1+1)(m_1-1)n_1}^y - u_{l_1 m_1 n_1}^y) \\
& + (u_{l_1(m_1+1)n_1}^x - u_{l_1 m_1 n_1}^x) + (u_{l_1(m_1-1)n_1}^x - u_{l_1 m_1 n_1}^x) - (u_{(l_1+1)m_1(n_1-1)}^x - u_{l_1 m_1 n_1}^x) - (u_{(l_1-1)m_1(n_1+1)}^x - u_{l_1 m_1 n_1}^x) \\
& + (u_{l_1 m_1(n_1+1)}^z - u_{l_1 m_1 n_1}^z) + (u_{l_1 m_1(n_1-1)}^z - u_{l_1 m_1 n_1}^z) - (u_{(l_1-1)(m_1+1)n_1}^z - u_{l_1 m_1 n_1}^z) - (u_{(l_1+1)(m_1-1)n_1}^z - u_{l_1 m_1 n_1}^z)] \quad (6)
\end{aligned}$$

$$\begin{aligned}
m\ddot{u}_{l_1 m_1 n_1}^z = & -\frac{C}{3}(u_{l_1 m_1 n_1}^x + u_{l_1 m_1 n_1}^y + u_{l_1 m_1 n_1}^z - u_{l_2 m_2 n_2}^x - u_{l_2 m_2 n_2}^y - u_{l_2 m_2 n_2}^z) \\
& +\frac{C}{3}(u_{l_1 m_1 n_1}^x - u_{l_2(m_2-1)n_2}^x + u_{l_1 m_1 n_1}^y - u_{l_2(m_2-1)n_2}^y - u_{l_1 m_1 n_1}^z + u_{l_2(m_2-1)n_2}^z) \\
& +\frac{C}{3}(u_{l_1 m_1 n_1}^x - u_{l_2 m_2(n_2-1)}^x - u_{l_1 m_1 n_1}^y + u_{l_2 m_2(n_2-1)}^y - u_{l_1 m_1 n_1}^z + u_{l_2 m_2(n_2-1)}^z) \\
& -\frac{C}{3}(u_{l_1 m_1 n_1}^x - u_{(l_2-1)m_2 n_2}^x - u_{l_1 m_1 n_1}^y + u_{(l_2-1)m_2 n_2}^y + u_{l_1 m_1 n_1}^z - u_{(l_2-1)m_2 n_2}^z) \\
& +\frac{A}{2}[(u_{l_1 m_1(n_1+1)}^z - u_{l_1 m_1 n_1}^z) + (u_{l_1 m_1(n_1-1)}^z - u_{l_1 m_1 n_1}^z) + (u_{(l_1+1)m_1 n_1}^z - u_{l_1 m_1 n_1}^z) + (u_{(l_1-1)m_1 n_1}^z - u_{l_1 m_1 n_1}^z) \\
& + (u_{l_1(m_1+1)(n_1-1)}^z - u_{l_1 m_1 n_1}^z) + (u_{l_1(m_1-1)(n_1+1)}^z - u_{l_1 m_1 n_1}^z) + (u_{(l_1-1)(m_1+1)n_1}^z - u_{l_1 m_1 n_1}^z) + (u_{(l_1+1)(m_1-1)n_1}^z - u_{l_1 m_1 n_1}^z) \\
& + (u_{(l_1+1)m_1 n_1}^x - u_{l_1 m_1 n_1}^x) + (u_{(l_1-1)m_1 n_1}^x - u_{l_1 m_1 n_1}^x) - (u_{l_1(m_1-1)(n_1+1)}^x - u_{l_1 m_1 n_1}^x) - (u_{l_1(m_1+1)(n_1-1)}^x - u_{l_1 m_1 n_1}^x) \\
& + (u_{l_1 m_1(n_1+1)}^y - u_{l_1 m_1 n_1}^y) + (u_{l_1 m_1(n_1-1)}^y - u_{l_1 m_1 n_1}^y) - (u_{(l_1-1)(m_1+1)n_1}^y - u_{l_1 m_1 n_1}^y) - (u_{(l_1+1)(m_1-1)n_1}^y - u_{l_1 m_1 n_1}^y)] \quad (7)
\end{aligned}$$

类似对于 Zn 原子受力分析

$$\begin{aligned}
M\ddot{u}_{l_2 m_2 n_2}^x = & -\frac{C}{3}(u_{l_2 m_2 n_2}^x + u_{l_2 m_2 n_2}^y + u_{l_2 m_2 n_2}^z - u_{l_1 m_1 n_1}^x - u_{l_1 m_1 n_1}^y - u_{l_1 m_1 n_1}^z) \\
& -\frac{C}{3}(u_{l_2 m_2 n_2}^x - u_{l_1(m_1+1)n_1}^x + u_{l_2 m_2 n_2}^y - u_{l_1(m_1+1)n_2}^y - u_{l_2 m_2 n_2}^z + u_{l_1(m_1+1)n_1}^z) \\
& -\frac{C}{3}(u_{l_2 m_2 n_2}^x - u_{l_1 m_1(n_1+1)}^x - u_{l_2 m_2 n_2}^y + u_{l_1 m_1(n_1+1)}^y - u_{l_2 m_2 n_2}^z + u_{l_1 m_1(n_1+1)}^z) \\
& -\frac{C}{3}(u_{l_2 m_2 n_2}^x - u_{(l_1+1)m_1 n_1}^x - u_{l_2 m_2 n_2}^y + u_{(l_1+1)m_1 n_1}^y + u_{l_2 m_2 n_2}^z - u_{(l_1+1)m_1 n_1}^z) \\
& +\frac{B}{2}[(u_{(l_2+1)m_2 n_2}^x - u_{l_2 m_2 n_2}^x) + (u_{(l_2-1)m_2 n_2}^x - u_{l_2 m_2 n_2}^x) + (u_{l_2(m_2+1)n_2}^x - u_{l_2 m_2 n_2}^x) + (u_{l_2(m_2-1)n_2}^x - u_{l_2 m_2 n_2}^x) \\
& + (u_{(l_2+1)m_2(n_2-1)}^x - u_{l_2 m_2 n_2}^x) + (u_{(l_2-1)m_2(n_2+1)}^x - u_{l_2 m_2 n_2}^x) + (u_{l_2(m_2+1)(n_2-1)}^x - u_{l_2 m_2 n_2}^x) + (u_{l_2(m_2-1)(n_2+1)}^x - u_{l_2 m_2 n_2}^x) \\
& + (u_{l_2(m_2+1)n_2}^y - u_{l_2 m_2 n_2}^y) + (u_{l_2(m_2-1)n_2}^y - u_{l_2 m_2 n_2}^y) - (u_{(l_2+1)m_2(n_2-1)}^y - u_{l_2 m_2 n_2}^y) - (u_{(l_2-1)m_2(n_2+1)}^y - u_{l_2 m_2 n_2}^y) \\
& + (u_{(l_2+1)m_2 n_2}^z - u_{l_2 m_2 n_2}^z) + (u_{(l_2-1)m_2 n_2}^z - u_{l_2 m_2 n_2}^z) - (u_{l_2(m_2+1)(n_2-1)}^z - u_{l_2 m_2 n_2}^z) - (u_{l_2(m_2-1)(n_2+1)}^z - u_{l_2 m_2 n_2}^z)] \quad (8)
\end{aligned}$$

$$\begin{aligned}
M\ddot{u}_{l_2, m_2, n_2}^y = & -\frac{C}{3}(u_{l_2 m_2 n_2}^x + u_{l_2 m_2 n_2}^y + u_{l_2 m_2 n_2}^z - u_{l_1 m_1 n_1}^x - u_{l_1 m_1 n_1}^y - u_{l_1 m_1 n_1}^z) \\
& -\frac{C}{3}(u_{l_2 m_2 n_2}^x - u_{l_1(m_1+1)n_1}^x + u_{l_2 m_2 n_2}^y - u_{l_1(m_1+1)n_2}^y - u_{l_2 m_2 n_2}^z + u_{l_1(m_1+1)n_1}^z) \\
& +\frac{C}{3}(u_{l_2 m_2 n_2}^x - u_{l_1 m_1(n_1+1)}^x - u_{l_2 m_2 n_2}^y + u_{l_1 m_1(n_1+1)}^y - u_{l_2 m_2 n_2}^z + u_{l_1 m_1(n_1+1)}^z) \\
& +\frac{C}{3}(u_{l_2 m_2 n_2}^x - u_{(l_1+1)m_1 n_1}^x - u_{l_2 m_2 n_2}^y + u_{(l_1+1)m_1 n_1}^y + u_{l_2 m_2 n_2}^z - u_{(l_1+1)m_1 n_1}^z) \\
& +\frac{B}{2}[(u_{l_2 m_2(n_2+1)}^y - u_{l_2 m_2 n_2}^y) + (u_{l_2 m_2(n_2-1)}^y - u_{l_2 m_2 n_2}^y) + (u_{l_2(m_2+1)n_2}^y - u_{l_2 m_2 n_2}^y) + (u_{l_2(m_2-1)n_2}^y - u_{l_2 m_2 n_2}^y) \\
& + (u_{(l_2+1)m_2(n_2-1)}^y - u_{l_2 m_2 n_2}^y) + (u_{(l_2-1)m_2(n_2+1)}^y - u_{l_2 m_2 n_2}^y) + (u_{(l_2-1)(m_2+1)n_2}^y - u_{l_2 m_2 n_2}^y) + (u_{(l_2+1)(m_2-1)n_2}^y - u_{l_2 m_2 n_2}^y) \\
& + (u_{l_2(m_2+1)n_2}^x - u_{l_2 m_2 n_2}^x) + (u_{l_2(m_2-1)n_2}^x - u_{l_2 m_2 n_2}^x) - (u_{(l_2+1)m_2(n_2-1)}^x - u_{l_2 m_2 n_2}^x) - (u_{(l_2-1)m_2(n_2+1)}^x - u_{l_2 m_2 n_2}^x) \\
& + (u_{l_2 m_2(n_2+1)}^z - u_{l_2 m_2 n_2}^z) + (u_{l_2 m_2(n_2-1)}^z - u_{l_2 m_2 n_2}^z) - (u_{(l_2-1)(m_2+1)n_2}^z - u_{l_2 m_2 n_2}^z) - (u_{(l_2+1)(m_2-1)n_2}^z - u_{l_2 m_2 n_2}^z)] \quad (9)
\end{aligned}$$

$$\begin{aligned}
M\ddot{u}_{l_2, m_2, n_2}^z = & -\frac{C}{3}(u_{l_2 m_2 n_2}^x + u_{l_2 m_2 n_2}^y + u_{l_2 m_2 n_2}^z - u_{l_1 m_1 n_1}^x - u_{l_1 m_1 n_1}^y - u_{l_1 m_1 n_1}^z) \\
& +\frac{C}{3}(u_{l_2 m_2 n_2}^x - u_{l_1(m_1+1)n_1}^x + u_{l_2 m_2 n_2}^y - u_{l_1(m_1+1)n_2}^y - u_{l_2 m_2 n_2}^z + u_{l_1(m_1+1)n_1}^z) \\
& +\frac{C}{3}(u_{l_2 m_2 n_2}^x - u_{l_1 m_1(n_1+1)}^x - u_{l_2 m_2 n_2}^y + u_{l_1 m_1(n_1+1)}^y - u_{l_2 m_2 n_2}^z + u_{l_1 m_1(n_1+1)}^z) \\
& -\frac{C}{3}(u_{l_2 m_2 n_2}^x - u_{(l_1+1)m_1 n_1}^x - u_{l_2 m_2 n_2}^y + u_{(l_1+1)m_1 n_1}^y + u_{l_2 m_2 n_2}^z - u_{(l_1+1)m_1 n_1}^z) \\
& +\frac{B}{2}[(u_{l_2 m_2(n_2+1)}^z - u_{l_2 m_2 n_2}^z) + (u_{l_2 m_2(n_2-1)}^z - u_{l_2 m_2 n_2}^z) + (u_{(l_2+1)m_2 n_2}^z - u_{l_2 m_2 n_2}^z) + (u_{(l_2-1)m_2 n_2}^z - u_{l_2 m_2 n_2}^z) \\
& + (u_{l_2(m_2+1)(n_2-1)}^z - u_{l_2 m_2 n_2}^z) + (u_{l_2(m_2-1)(n_2+1)}^z - u_{l_2 m_2 n_2}^z) + (u_{(l_2-1)(m_2+1)n_2}^z - u_{l_2 m_2 n_2}^z) + (u_{(l_2+1)(m_2-1)n_2}^z - u_{l_2 m_2 n_2}^z) \\
& + (u_{(l_2+1)m_2 n_2}^x - u_{l_2 m_2 n_2}^x) + (u_{(l_2-1)m_2 n_2}^x - u_{l_2 m_2 n_2}^x) - (u_{l_2(m_2-1)(n_2+1)}^x - u_{l_2 m_2 n_2}^x) - (u_{l_2(m_2+1)(n_2-1)}^x - u_{l_2 m_2 n_2}^x) \\
& + (u_{l_2 m_2(n_2+1)}^y - u_{l_2 m_2 n_2}^y) + (u_{l_2 m_2(n_2-1)}^y - u_{l_2 m_2 n_2}^y) - (u_{(l_2-1)(m_2+1)n_2}^y - u_{l_2 m_2 n_2}^y) - (u_{(l_2+1)(m_2-1)n_2}^y - u_{l_2 m_2 n_2}^y)] \quad (10)
\end{aligned}$$

可以得到方程解的形式

$$\mathbf{u}_{l_1 m_1 n_1} = \vec{S} \exp \left[i(\omega t - k_x a \frac{l_1 + m_1}{2} - k_y a \frac{m_1 + n_1}{2} - k_z a \frac{l_1 + n_1}{2}) \right] \quad (11)$$

$$\mathbf{u}_{l_2 m_2 n_2} = \vec{Z} \exp \left[i(\omega t - k_x a \frac{l_2 + m_2}{2} - k_y a \frac{m_2 + n_2}{2} - k_z a \frac{l_2 + n_2}{2}) \right] \quad (12)$$

根据 S 原子和 Zn 原子位置关系, $(l_2, m_2, n_2) = (l_1 + \frac{1}{4}, m_1 + \frac{1}{4}, n_1 + \frac{1}{4})$

$$\mathbf{u}_{l_2 m_2 n_2} = \vec{Z} \exp \left[i(\omega t - k_x a \frac{l_1 + m_1 + \frac{1}{2}}{2} - k_y a \frac{m_1 + n_1 + \frac{1}{2}}{2} - k_z a \frac{l_1 + n_1 + \frac{1}{2}}{2}) \right] \quad (13)$$

将解反带回方程 (5)-(10), 为便于计算, 这里取 $\mathbf{k} = (k, 0, 0)$ 即波矢沿 x 方向, 可以得到以下线性方程组

$$\{m\omega^2 - \frac{4}{3}C + A[4\cos(\frac{k}{2}a) - 4]\}S_x + \frac{4}{3}C\cos(\frac{k}{4}a)Z_x = 0 \quad (14)$$

$$\{m\omega^2 - \frac{4}{3}C + A[2\cos(\frac{k}{2}a) - 2]\}S_y + \frac{4}{3}C\cos(\frac{k}{4}a)Z_y - i\frac{4}{3}C\sin(\frac{k}{4}a)Z_z = 0 \quad (15)$$

$$\{m\omega^2 - \frac{4}{3}C + A[2\cos(\frac{k}{2}a) - 2]\}S_z + \frac{4}{3}C\cos(\frac{k}{4}a)Z_z - i\frac{4}{3}C\sin(\frac{k}{4}a)Z_y = 0 \quad (16)$$

$$\left\{M\omega^2 - \frac{4}{3}C + B[4\cos(\frac{k}{2}a) - 4]\right\}Z_x + \frac{4}{3}C\cos(\frac{k}{4}a)S_x = 0 \quad (17)$$

$$\left\{M\omega^2 - \frac{4}{3}C + B[2\cos(\frac{k}{2}a) - 2]\right\}Z_y + \frac{4}{3}C\cos(\frac{k}{4}a)S_y + i\frac{4}{3}C\sin(\frac{k}{4}a)S_z = 0 \quad (18)$$

$$\left\{M\omega^2 - \frac{4}{3}C + B[2\cos(\frac{k}{2}a) - 2]\right\}Z_z + \frac{4}{3}C\cos(\frac{k}{4}a)S_z + i\frac{4}{3}C\sin(\frac{k}{4}a)S_y = 0 \quad (19)$$

带入 Mathematica 进行求解行列式得到色散关系, 根据有解条件, 得到符合物理实际的 6 个正根 其中 $f[k], t[k]$ 对

$$\begin{aligned} f[k] &= \sqrt{\left(\frac{A}{m} + \frac{2c}{3m} + \frac{B}{M} + \frac{2c}{3M} - \frac{A\cos[\frac{ak}{2}]}{m} - \frac{B\cos[\frac{ak}{2}]}{M} - \frac{1}{6mM} \left(\sqrt{\left((-6Bm - 4cm - 6Am - 4cM + 6Bm\cos[\frac{ak}{2}] + 6Am\cos[\frac{ak}{2}])^2 - 12mM(18AB + 8Ac + 8Bc - 24AB\cos[\frac{ak}{2}] - 8Ac\cos[\frac{ak}{2}] - 8Bc\cos[\frac{ak}{2}] + 6AB\cos[ak])}\right)} \right)} \right)} \\ g[k] &= \sqrt{\left(\frac{A}{m} + \frac{2c}{3m} + \frac{B}{M} + \frac{2c}{3M} - \frac{A\cos[\frac{ak}{2}]}{m} - \frac{B\cos[\frac{ak}{2}]}{M} + \frac{1}{6mM} \left(\sqrt{\left((-6Bm - 4cm - 6Am - 4cM + 6Bm\cos[\frac{ak}{2}] + 6Am\cos[\frac{ak}{2}])^2 - 12mM(18AB + 8Ac + 8Bc - 24AB\cos[\frac{ak}{2}] - 8Ac\cos[\frac{ak}{2}] - 8Bc\cos[\frac{ak}{2}] + 6AB\cos[ak])}\right)} \right)} \right)} \\ t[k] &= \sqrt{\left(\frac{2A}{m} + \frac{2c}{3m} + \frac{2B}{M} + \frac{2c}{3M} - \frac{2A\cos[\frac{ak}{2}]}{m} - \frac{2B\cos[\frac{ak}{2}]}{M} - \frac{1}{18mM} \left(\sqrt{\left((-36Bm - 12cm - 36Am - 12cM + 36Bm\cos[\frac{ak}{2}] + 36Am\cos[\frac{ak}{2}])^2 - 36mM(216AB + 48Ac + 48Bc + 8c^2 - 288AB\cos[\frac{ak}{2}] - 48Ac\cos[\frac{ak}{2}] - 48Bc\cos[\frac{ak}{2}] - 8c^2\cos[\frac{ak}{2}] + 72AB\cos[ak])}\right)} \right)} \right)} \\ n[k] &= \sqrt{\left(\frac{2A}{m} + \frac{2c}{3m} + \frac{2B}{M} + \frac{2c}{3M} - \frac{2A\cos[\frac{ak}{2}]}{m} - \frac{2B\cos[\frac{ak}{2}]}{M} + \frac{1}{18mM} \left(\sqrt{\left((-36Bm - 12cm - 36Am - 12cM + 36Bm\cos[\frac{ak}{2}] + 36Am\cos[\frac{ak}{2}])^2 - 36mM(216AB + 48Ac + 48Bc + 8c^2 - 288AB\cos[\frac{ak}{2}] - 48Ac\cos[\frac{ak}{2}] - 48Bc\cos[\frac{ak}{2}] - 8c^2\cos[\frac{ak}{2}] + 72AB\cos[ak])}\right)} \right)} \right)} \end{aligned}$$

应声学支, $k \rightarrow 0$ 时 $\omega \rightarrow 0$; $g[k], n[k]$ 对应光学支, $k \rightarrow 0$ 时 $\omega \rightarrow \sqrt{\frac{4C}{3}(\frac{1}{m} + \frac{1}{M})}$; $f[k], g[k]$ 均为二重根, $t[k], n[k]$ 为单根 带入 $\frac{M}{m} = \frac{65}{32}$, 并假设 $A = B = C$, 可得如图6色散关系

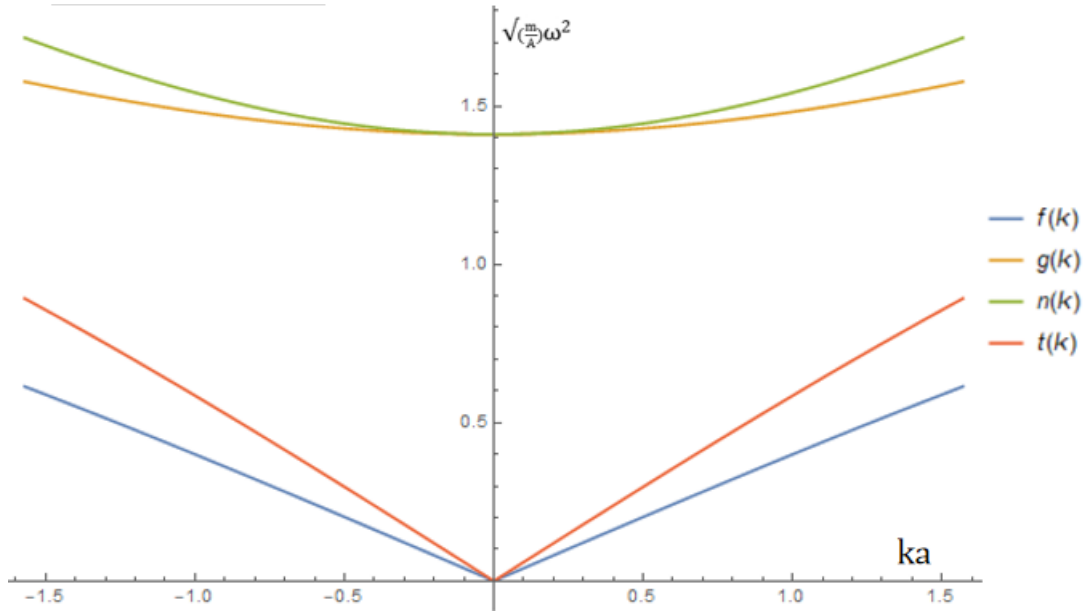


图 6: ZnS 晶体色散关系

4 晶体能带

4.1 近自由电子近似

根据图4, 可见由于能隙是 Bloch 波入射与反射波的干涉结果, 根据式 (3) 得到的几何结构因子, 可知在第一布里渊区的 $(\pm 1, 0, 0), (0, \pm 1, 0), (0, 0, \pm 1)$ 的三个方向上 $F_{HKL} = 0$, 界面上的能隙为 0。因此得到简约布里渊区能带如图7, 可得第 1、2 布里渊区边界不存在禁带。

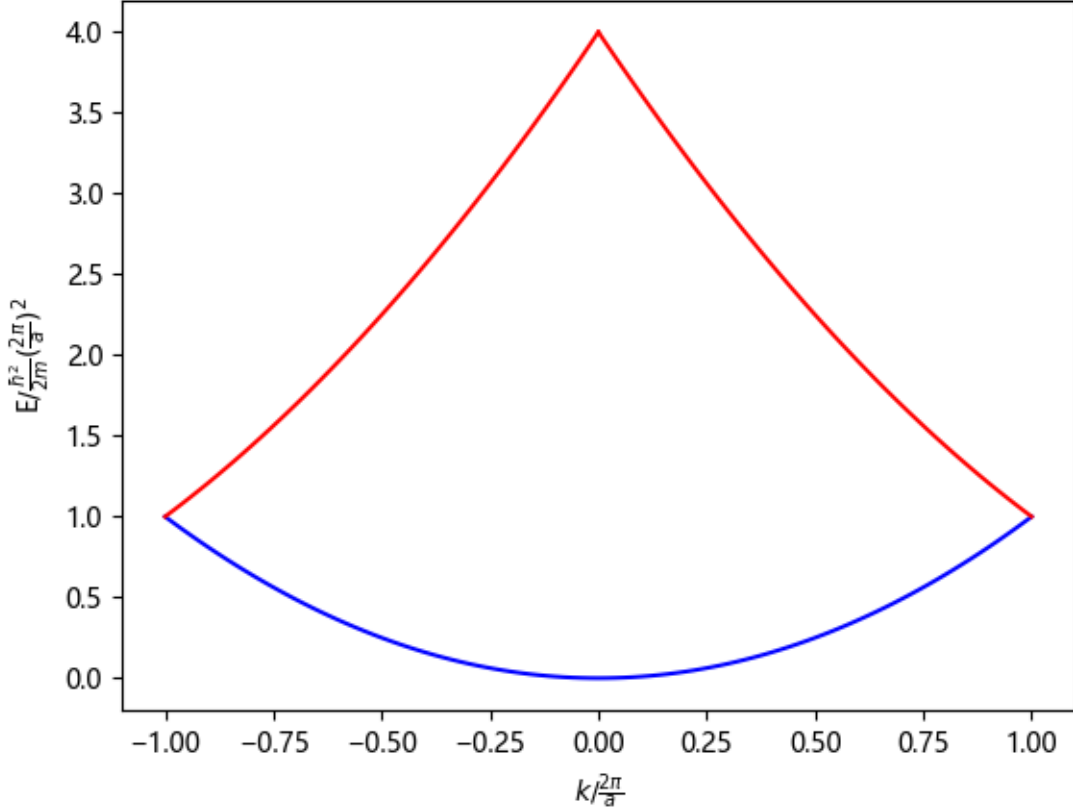


图 7: 近自由电子近似下 ZnS 简约能带

4.2 紧束缚近似

考虑 ZnS 结构的 S 带, 得到方程为

$$\alpha \left[(\epsilon_A - E) - \sum_{\vec{R}_l} J_A(\vec{R}_S) \exp(-i\vec{k} \cdot \vec{R}_S) \right] - \beta \sum_{\vec{R}_l} J_{AB}(\vec{R}_S) \exp(i\vec{k} \cdot (\vec{R}_l + \vec{r}_A - \vec{r}_B)) = 0 \quad (20)$$

$$\alpha \sum_{\vec{R}_l} J_{BA}(\vec{R}_S) \exp(i\vec{k} \cdot (\vec{R}_l - \vec{r}_A + \vec{r}_B)) - \beta \left[(\epsilon_B - E) - \sum_{\vec{R}_l} J_B(\vec{R}_S) \exp(-i\vec{k} \cdot \vec{R}_S) \right] = 0 \quad (21)$$

其中 A 对应 Zn 原子, B 对应 S 原子, 其中

$$J_A = - \int \phi_A^*(\vec{\xi} - \vec{R}_S - \vec{r}_A) [V(\vec{\xi}) - U_A(\vec{\xi} - \vec{r}_A)] \phi_A(\vec{\xi} - \vec{r}_A) d\vec{\xi} \quad (22)$$

$$J_B = - \int \phi_B^*(\vec{\xi} - \vec{R}_S - \vec{r}_B) [V(\vec{\xi}) - U_B(\vec{\xi} - \vec{r}_B)] \phi_B(\vec{\xi} - \vec{r}_B) d\vec{\xi} \quad (23)$$

$$J_{AB} = - \int \phi_A^*(\vec{\xi} - \vec{R}_S - \vec{r}_A) [V(\vec{\xi}) - U_B(\vec{\xi} - \vec{r}_B)] \phi_B(\vec{\xi} - \vec{r}_B) d\vec{\xi} \quad (24)$$

$$J_{BA} = - \int \phi_B^*(\vec{\xi} - \vec{R}_S - \vec{r}_B) [V(\vec{\xi}) - U_A(\vec{\xi} - \vec{r}_A)] \phi_A(\vec{\xi} - \vec{r}_A) d\vec{\xi} \quad (25)$$

带入只考虑最邻近原子

$$\begin{vmatrix} \epsilon_A - E - J_A & -2J_{AB} \left[\exp(i\frac{k_z a}{4}) \cos(\frac{k_x - k_y}{4} a) + \exp(-i\frac{k_z a}{4}) \cos(\frac{k_x + k_y}{4} a) \right] \\ -2J_{BA} \left[\exp(i\frac{k_z a}{4}) \cos(\frac{k_x + k_y}{4} a) + \exp(-i\frac{k_z a}{4}) \cos(\frac{k_x - k_y}{4} a) \right] & \epsilon_B - E - J_B \end{vmatrix} = 0 \quad (26)$$

假设 $J_{AB} = J_{BA}$, 得到结果

$$E_{\pm}(\vec{k}) = \frac{\epsilon_A + \epsilon_B - J_A - J_B}{2} \pm \sqrt{\left(\frac{\epsilon_A - \epsilon_B - J_A + J_B}{2}\right)^2 + 16J_{AB}^2 \left(\cos^2 \frac{k_x a}{4} \cos^2 \frac{k_y a}{4} \cos^2 \frac{k_z a}{4} + \sin^2 \frac{k_x a}{4} \sin^2 \frac{k_y a}{4} \sin^2 \frac{k_z a}{4}\right)} \quad (27)$$

4.3 空格子模型

取波矢 k 沿 $[010]$ 方向, 根据面心立方结构, 取 k 单位 $\frac{2\pi}{a}$, E 单位 $\frac{\hbar^2}{2m}(\frac{2\pi}{a})^2$, 可得一下各情况

(1) $(n_x n_y n_z) = (000)$

$$E_1 = (k_y)^2 \quad (28)$$

能量范围 $0 \rightarrow 1 \times \frac{\hbar^2}{2m}(\frac{2\pi}{a})^2$, 非简并。

(2) $(n_x n_y n_z) = (1\bar{1}1), (1\bar{1}\bar{1}), (\bar{1}11), (\bar{1}\bar{1}\bar{1})$

$$E_2 = [1 + (k_y - 1)^2 + 1] \quad (29)$$

能量范围 $3 \rightarrow 2 \times \frac{\hbar^2}{2m}(\frac{2\pi}{a})^2$, 4 重简并。

(3) $(n_x n_y n_z) = (111), (11\bar{1}), (\bar{1}11), (\bar{1}\bar{1}\bar{1})$

$$E_3 = [1 + (k_y + 1)^2 + 1] \quad (30)$$

能量范围 $3 \rightarrow 6 \times \frac{\hbar^2}{2m}(\frac{2\pi}{a})^2$, 4 重简并。

(4) $(n_x n_y n_z) = (0\bar{2}0)$

$$E_4 = (k_y - 2)^2 \quad (31)$$

能量范围 $4 \rightarrow 1 \times \frac{\hbar^2}{2m}(\frac{2\pi}{a})^2$, 非简并。

(5) $(n_x n_y n_z) = (200), (\bar{2}00), (00\bar{2}), (002)$

$$E_5 = [(k_y + 1)^2 + 4] \quad (32)$$

能量范围 $4 \rightarrow 5 \times \frac{\hbar^2}{2m}(\frac{2\pi}{a})^2$, 4 重简并。

$$(6)(n_x n_y n_z) = (020)$$

$$E_6 = (k_y + 2)^2 \quad (33)$$

能量范围 $4 \rightarrow 9 \times \frac{\hbar^2}{2m} (\frac{2\pi}{a})^2$, 非简并。

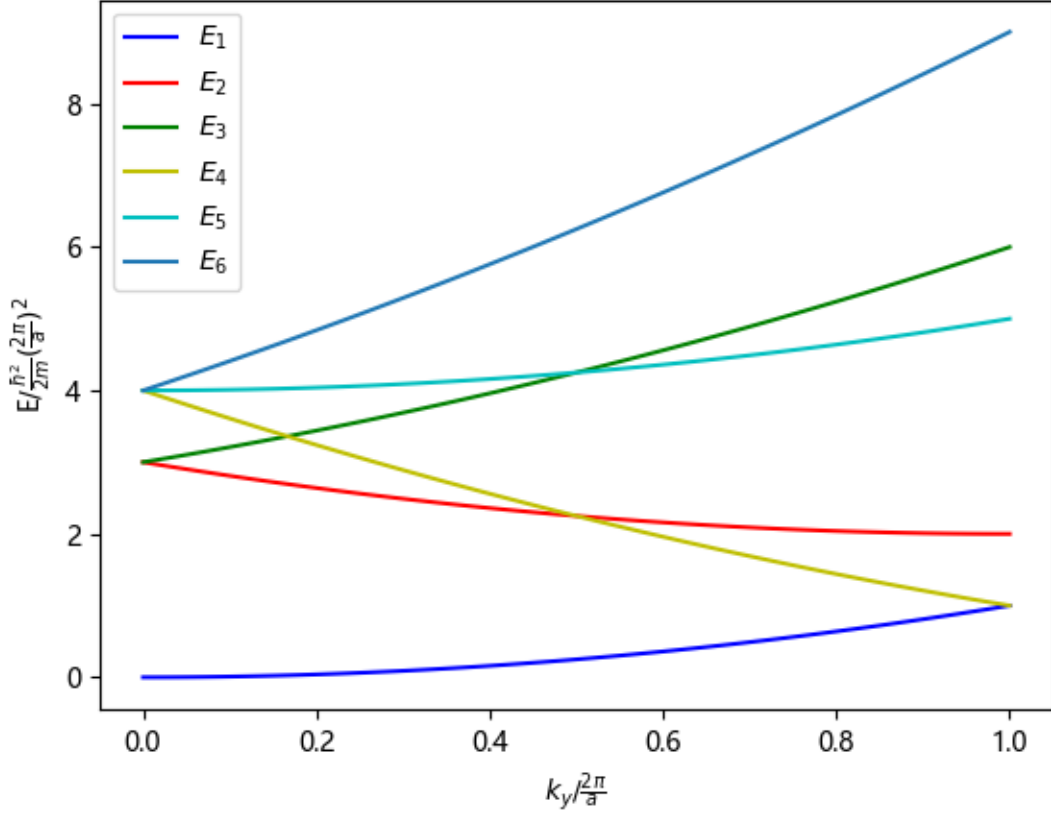


图 8: 空格子模型能带

4.4 能态密度

将紧束缚近似结果代入能态密度为

$$\begin{aligned}
 N(E) &= \frac{1}{4\pi^3} \oint_{E=Const} \frac{dS}{|\nabla_k E(k)|} \\
 &= \frac{\sqrt{(\frac{\epsilon_A - \epsilon_B - J_A + J_B}{2})^2 + 16J_{AB}^2 (\cos^2 \frac{k_x a}{4} \cos^2 \frac{k_y a}{4} \cos^2 \frac{k_z a}{4} + \sin^2 \frac{k_x a}{4} \sin^2 \frac{k_y a}{4} \sin^2 \frac{k_z a}{4})}}{8\pi^3 a J_{AB}^2} \\
 &\quad \oint_{E=Const} \frac{dS}{\sqrt{\sin^2 \frac{k_x a}{2} \cos^2 \frac{k_y + k_z}{4} a \cos^2 \frac{k_y - k_z}{4} a + \sin^2 \frac{k_y a}{2} \cos^2 \frac{k_x + k_z}{4} a \cos^2 \frac{k_x - k_z}{4} a + \sin^2 \frac{k_z a}{2} \cos^2 \frac{k_y + k_x}{4} a \cos^2 \frac{k_y - k_x}{4} a}}
 \end{aligned} \quad (34)$$

存在 Van Hove 奇点 $\mathbf{k} = \frac{2\pi}{a}(0,0,0), \frac{2\pi}{a}(1,0,0), \frac{2\pi}{a}(1,1,0), \frac{2\pi}{a}(1,1,1), \frac{2\pi}{a}(\frac{1}{2}, \frac{1}{2}, \frac{1}{2})$

5 晶体电子运动

利用紧束缚近似结果，ZnS 晶体中电子运动的速度

$$\begin{aligned} \mathbf{v} &= \frac{1}{\hbar} \nabla_{\mathbf{k}} E \\ &= \frac{2aJ_{AB}^2 (\hat{x} \sin \frac{k_x a}{2} \cos \frac{k_y + k_z}{4} a \cos \frac{k_y - k_z}{4} a + \hat{y} \sin \frac{k_y a}{2} \cos \frac{k_x + k_z}{4} a \cos \frac{k_x - k_z}{4} a + \hat{z} \sin \frac{k_z a}{2} \cos \frac{k_y + k_x}{4} a \cos \frac{k_y - k_x}{4} a)}{\hbar \sqrt{(\frac{\epsilon_A - \epsilon_B - J_A + J_B}{2})^2 + 16J_{AB}^2 (\cos^2 \frac{k_x a}{4} \cos^2 \frac{k_y a}{4} \cos^2 \frac{k_z a}{4} + \sin^2 \frac{k_x a}{4} \sin^2 \frac{k_y a}{4} \sin^2 \frac{k_z a}{4})}} \end{aligned} \quad (35)$$

取 \mathbf{k} 沿 x 方向，观察速度规律，可得速度也沿 x 方向，变化规律如图9，速度在能带底和顶均为 0，在中间处存在极大值。

$$\mathbf{v} = \frac{2aJ_{AB}^2 \sin \frac{k_x a}{2}}{\hbar \sqrt{(\frac{\epsilon_A - \epsilon_B - J_A + J_B}{2})^2 + 16J_{AB}^2 \cos^2 \frac{k_x a}{4}}} \hat{x} \quad (36)$$

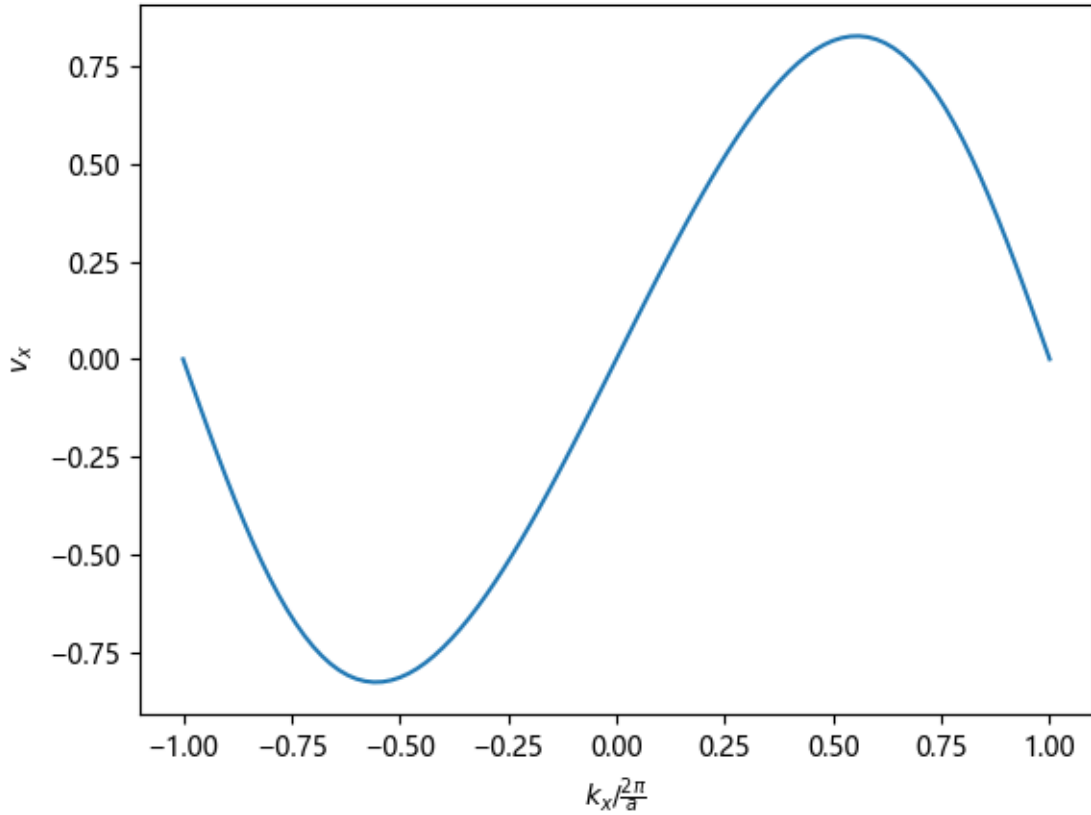


图 9: 电子运动速度规律

进一步可以得到电子的有效质量矩阵

$$\left[\frac{1}{m^*} \right] = \frac{1}{\hbar^2} \begin{bmatrix} E_{xx} & E_{xy} & E_{xz} \\ E_{yx} & E_{yy} & E_{yz} \\ E_{zx} & E_{zy} & E_{zz} \end{bmatrix} \quad (37)$$

其中各矩阵元为 其中 $A = (\frac{\epsilon_A - \epsilon_B - J_A + J_B}{2})^2$, $B = 16J_{AB}^2$, x, y, z 分别代表 k_x, k_y, k_z

$$E_{xx} = \frac{2 * a * J_{AB}^2 * \left(\left(\underset{\text{余弦}}{a \cos\left[\frac{1}{4} a (y-z)\right]} \underset{\text{余弦}}{\cos\left[\frac{1}{4} a (y+z)\right]} \left(\underset{\text{余弦}}{B \left(\cos\left[\frac{a y}{2}\right] + \cos\left[\frac{a z}{2}\right] \right) \sin\left[\frac{a x}{2}\right]^2} + 8 \underset{\text{余弦}}{\cos\left[\frac{a x}{2}\right]} \left(A + B \cos\left[\frac{a x}{4}\right]^2 \cos\left[\frac{a y}{4}\right]^2 \cos\left[\frac{a z}{4}\right]^2 + B \sin\left[\frac{a x}{4}\right]^2 \sin\left[\frac{a y}{4}\right]^2 \sin\left[\frac{a z}{4}\right]^2} \right) \right) \right)}{16 \left(A + B \cos\left[\frac{a x}{4}\right]^2 \cos\left[\frac{a y}{4}\right]^2 \cos\left[\frac{a z}{4}\right]^2 + B \sin\left[\frac{a x}{4}\right]^2 \sin\left[\frac{a y}{4}\right]^2 \sin\left[\frac{a z}{4}\right]^2 \right)^{3/2}} \right)$$

$$E_{xy} =$$

$$E_{yx} = \frac{-2 * a * J_{AB}^2 * \left(\underset{\text{正弦}}{a \sin\left[\frac{a x}{2}\right]} \left(\underset{\text{余弦}}{\cos\left[\frac{1}{4} a (y+z)\right]} \left(\underset{\text{余弦}}{B \cos\left[\frac{1}{4} a (y-z)\right]} \underset{\text{正弦}}{\sin\left[\frac{a x}{4}\right]^2 \sin\left[\frac{a y}{2}\right] \sin\left[\frac{a z}{4}\right]^2} + 2 \underset{\text{正弦}}{\sin\left[\frac{1}{4} a (y-z)\right]} \left(A + B \cos\left[\frac{a x}{4}\right]^2 \cos\left[\frac{a y}{4}\right]^2 \cos\left[\frac{a z}{4}\right]^2 + B \sin\left[\frac{a x}{4}\right]^2 \sin\left[\frac{a y}{4}\right]^2 \sin\left[\frac{a z}{4}\right]^2} \right) + 2 \underset{\text{余弦}}{\cos\left[\frac{1}{4} a (y-z)\right]} \left(\underset{\text{余弦}}{B \cos\left[\frac{a x}{4}\right]^2 \cos\left[\frac{a y}{4}\right] \cos\left[\frac{a z}{4}\right]^2 \sin\left[\frac{a z}{4}\right]} + \left(A + B \sin\left[\frac{a x}{4}\right]^2 \sin\left[\frac{a y}{4}\right]^2 \sin\left[\frac{a z}{4}\right]^2 \right) \underset{\text{正弦}}{\sin\left[\frac{1}{4} a (y+z)\right]} \right) \right) \right)}{8 \left(A + B \cos\left[\frac{a x}{4}\right]^2 \cos\left[\frac{a y}{4}\right]^2 \cos\left[\frac{a z}{4}\right]^2 + B \sin\left[\frac{a x}{4}\right]^2 \sin\left[\frac{a y}{4}\right]^2 \sin\left[\frac{a z}{4}\right]^2 \right)^{3/2}} \right)$$

$$E_{xz} =$$

$$E_{zx} = \frac{2 * a * J_{AB}^2 * \left(\underset{\text{正弦}}{a \sin\left[\frac{a x}{2}\right]} \left(\underset{\text{余弦}}{\cos\left[\frac{1}{4} a (y+z)\right]} \left(4 \underset{\text{正弦}}{\sin\left[\frac{1}{4} a (y-z)\right]} \left(A + B \cos\left[\frac{a x}{4}\right]^2 \cos\left[\frac{a y}{4}\right]^2 \cos\left[\frac{a z}{4}\right]^2 + B \sin\left[\frac{a x}{4}\right]^2 \sin\left[\frac{a y}{4}\right]^2 \sin\left[\frac{a z}{4}\right]^2 \right) + \underset{\text{余弦}}{B \left(\cos\left[\frac{a x}{2}\right] + \cos\left[\frac{a y}{2}\right] \right) \cos\left[\frac{1}{4} a (y-z)\right] \underset{\text{正弦}}{\sin\left[\frac{a z}{2}\right]} \right) - 4 \underset{\text{余弦}}{\cos\left[\frac{1}{4} a (y-z)\right]} \left(A + B \cos\left[\frac{a x}{4}\right]^2 \cos\left[\frac{a y}{4}\right]^2 \cos\left[\frac{a z}{4}\right]^2 + B \sin\left[\frac{a x}{4}\right]^2 \sin\left[\frac{a y}{4}\right]^2 \sin\left[\frac{a z}{4}\right]^2 \right) \underset{\text{正弦}}{\sin\left[\frac{1}{4} a (y+z)\right]} \right) \right) \right)}{16 \left(A + B \cos\left[\frac{a x}{4}\right]^2 \cos\left[\frac{a y}{4}\right]^2 \cos\left[\frac{a z}{4}\right]^2 + B \sin\left[\frac{a x}{4}\right]^2 \sin\left[\frac{a y}{4}\right]^2 \sin\left[\frac{a z}{4}\right]^2 \right)^{3/2}} \right)$$

$$E_{yy} = \frac{2 * a * J_{AB}^2 * \left(\left(\underset{\text{余弦}}{a \cos\left[\frac{1}{4} a (x-z)\right]} \underset{\text{余弦}}{\cos\left[\frac{1}{4} a (x+z)\right]} \left(\underset{\text{余弦}}{B \left(\cos\left[\frac{a x}{2}\right] + \cos\left[\frac{a z}{2}\right] \right) \sin\left[\frac{a y}{2}\right]^2} + 8 \underset{\text{余弦}}{\cos\left[\frac{a y}{2}\right]} \left(A + B \cos\left[\frac{a x}{4}\right]^2 \cos\left[\frac{a y}{4}\right]^2 \cos\left[\frac{a z}{4}\right]^2 + B \sin\left[\frac{a x}{4}\right]^2 \sin\left[\frac{a y}{4}\right]^2 \sin\left[\frac{a z}{4}\right]^2} \right) \right) \right)}{16 \left(A + B \cos\left[\frac{a x}{4}\right]^2 \cos\left[\frac{a y}{4}\right]^2 \cos\left[\frac{a z}{4}\right]^2 + B \sin\left[\frac{a x}{4}\right]^2 \sin\left[\frac{a y}{4}\right]^2 \sin\left[\frac{a z}{4}\right]^2 \right)^{3/2}} \right)$$

$$\begin{aligned}
E_{yz} = & \\
E_{zy} = & \\
2 \star a \star J_{AB}^2 \star & \\
\left(a \sin \left[\frac{ay}{2} \right] \right. & \\
\left. \cos \left[\frac{1}{4} a (x+z) \right] \right) & \left(4 \sin \left[\frac{1}{4} a (x-z) \right] \left(A + B \cos \left[\frac{ax}{4} \right]^2 \cos \left[\frac{ay}{4} \right]^2 \cos \left[\frac{az}{4} \right]^2 + B \sin \left[\frac{ax}{4} \right]^2 \sin \left[\frac{ay}{4} \right]^2 \sin \left[\frac{az}{4} \right]^2 \right) + \right. \\
B \left(\cos \left[\frac{ax}{2} \right] + \cos \left[\frac{ay}{2} \right] \right) & \cos \left[\frac{1}{4} a (x-z) \right] \sin \left[\frac{az}{2} \right] \left. \right) - \\
4 \cos \left[\frac{1}{4} a (x-z) \right] & \left(A + B \cos \left[\frac{ax}{4} \right]^2 \cos \left[\frac{ay}{4} \right]^2 \cos \left[\frac{az}{4} \right]^2 + B \sin \left[\frac{ax}{4} \right]^2 \sin \left[\frac{ay}{4} \right]^2 \sin \left[\frac{az}{4} \right]^2 \right) \sin \left[\frac{1}{4} a (x+z) \right] \left. \right) \Bigg) / \\
\left(16 \left(A + B \cos \left[\frac{ax}{4} \right]^2 \cos \left[\frac{ay}{4} \right]^2 \cos \left[\frac{az}{4} \right]^2 + B \sin \left[\frac{ax}{4} \right]^2 \sin \left[\frac{ay}{4} \right]^2 \sin \left[\frac{az}{4} \right]^2 \right)^{3/2} \right) & \\
E_{zz} = & \\
2 \star a \star J_{AB}^2 \star & \\
\left(\left(a \cos \left[\frac{1}{4} a (x-y) \right] \cos \left[\frac{1}{4} a (x+y) \right] \right. \right. & \\
\left. \left(8 \cos \left[\frac{az}{2} \right] \left(A + B \cos \left[\frac{ax}{4} \right]^2 \cos \left[\frac{ay}{4} \right]^2 \cos \left[\frac{az}{4} \right]^2 + B \sin \left[\frac{ax}{4} \right]^2 \sin \left[\frac{ay}{4} \right]^2 \sin \left[\frac{az}{4} \right]^2 \right) + B \left(\cos \left[\frac{ax}{2} \right] + \cos \left[\frac{ay}{2} \right] \right) \sin \left[\frac{az}{2} \right]^2 \right) \right) & \\
\left. \left(16 \left(A + B \cos \left[\frac{ax}{4} \right]^2 \cos \left[\frac{ay}{4} \right]^2 \cos \left[\frac{az}{4} \right]^2 + B \sin \left[\frac{ax}{4} \right]^2 \sin \left[\frac{ay}{4} \right]^2 \sin \left[\frac{az}{4} \right]^2 \right)^{3/2} \right) \right) &
\end{aligned}$$

对于在加了外磁场的晶格中运动的电子，假设磁场沿 z 方向。分析在 $k_z = 0$ 的平面运动的电子，垂直于磁场方向的速度

$$|v_{\perp}| = \frac{2aJ_{AB}^2 \sqrt{\sin^2 \frac{k_x a}{2} \cos^4 \frac{k_y a}{4} + \sin^2 \frac{k_y a}{2} \cos^4 \frac{k_x a}{4}}}{\hbar \sqrt{\left(\frac{\epsilon_A - \epsilon_B - J_A + J_B}{2} \right)^2 + 16J_{AB}^2 \cos^2 \frac{k_x a}{4} \cos^2 \frac{k_y a}{4}}} \quad (38)$$

可得电子回旋运动的周期

$$T = \frac{\hbar^2}{2aJ_{AB}^2 eB} \oint_{E=Const} \frac{\sqrt{\left(\frac{\epsilon_A - \epsilon_B - J_A + J_B}{2} \right)^2 + 16J_{AB}^2 \cos^2 \frac{k_x a}{4} \cos^2 \frac{k_y a}{4}}}{\sqrt{\sin^2 \frac{k_x a}{2} \cos^4 \frac{k_y a}{4} + \sin^2 \frac{k_y a}{2} \cos^4 \frac{k_x a}{4}}} d\vec{k} \quad (39)$$

在磁场中加入沿磁场的交变电场，发生回旋共振时，考虑处于能带底的电子 $\mathbf{k} = (000)$ ，此时有效质量退化为标量

$$m^* = \hbar^2 \frac{\sqrt{\left(\frac{\epsilon_A - \epsilon_B - J_A + J_B}{2} \right)^2 + 16J_{AB}^2}}{a^2 J_{AB}^2} \quad (40)$$

可得共振频率

$$\omega_c = \frac{eBa^2 J_{AB}^2}{\hbar^2 \sqrt{\left(\frac{\epsilon_A - \epsilon_B - J_A + J_B}{2} \right)^2 + 16J_{AB}^2}} \quad (41)$$

也可取能带顶 $k = (\frac{\pi}{a}, \frac{\pi}{a}, \frac{\pi}{a})$ ，对角化可得主轴有效质量

$$\begin{cases} m_1 = m_2 = \frac{\hbar^2 \sqrt{4(\frac{\epsilon_A - \epsilon_B - J_A + J_B}{2})^2 + 16J_{AB}^2}}{a^2 J_{AB}^2} \\ m_3 = -2 \frac{\hbar^2 \sqrt{4(\frac{\epsilon_A - \epsilon_B - J_A + J_B}{2})^2 + 16J_{AB}^2}}{a^2 J_{AB}^2} \end{cases} \quad (42)$$

取 θ 为磁场方向与主轴 3 的夹角

$$m_c^* = \left(\frac{\sin^2 \theta}{m_1 m_3} + \frac{\cos^2 \theta}{m_1^2} \right)^{-\frac{1}{2}} = \frac{\hbar^2 \sqrt{4(\frac{\epsilon_A - \epsilon_B - J_A + J_B}{2})^2 + 16J_{AB}^2}}{a^2 J_{AB}^2} \left(\frac{1 + \cos^2 \theta}{2} \right)^{-\frac{1}{2}} \quad (43)$$

该点共振频率

$$\omega_c = \frac{eBa^2 J_{AB}^2}{\hbar^2 \sqrt{4(\frac{\epsilon_A - \epsilon_B - J_A + J_B}{2})^2 + 16J_{AB}^2}} \left(\frac{1 + \cos^2 \theta}{2} \right)^{\frac{1}{2}} \quad (44)$$

根据三维自由电子气模型，在磁场中能量随磁场变化周期

$$\Delta\left(\frac{1}{B}\right) = \frac{2\pi e}{\hbar A_F} = \frac{2e}{\hbar (3\pi^2 n)^{\frac{2}{3}}} \quad (45)$$